

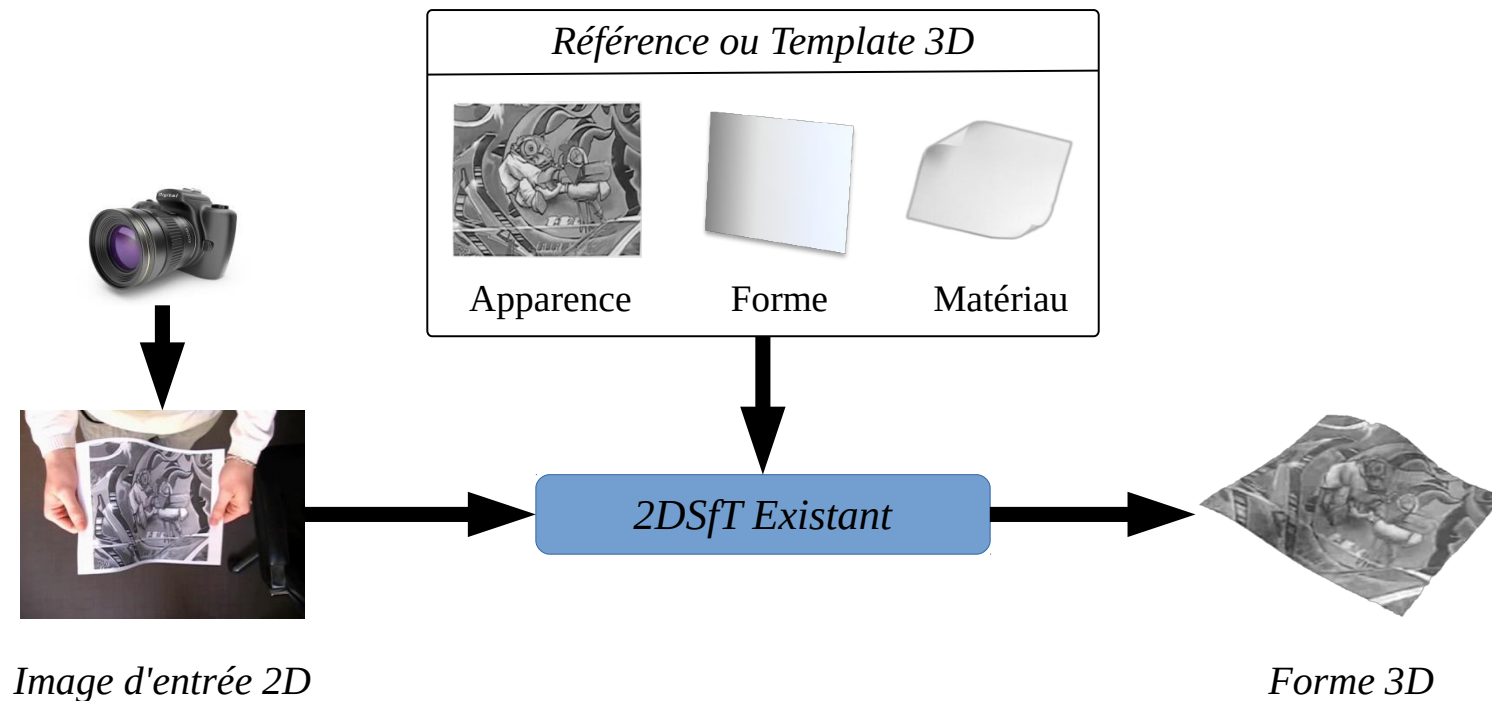
Shape-from-Template dans Flatland

Mathias Gallardo, Daniel Pizarro, Adrien Bartoli et Toby Collins
ALCoV-ISIT, Clermont-Ferrand

Journées Francophones des Jeunes Chercheurs en Vision par Ordinateur,
ORASIS à Amiens, 15-19 Juin 2015

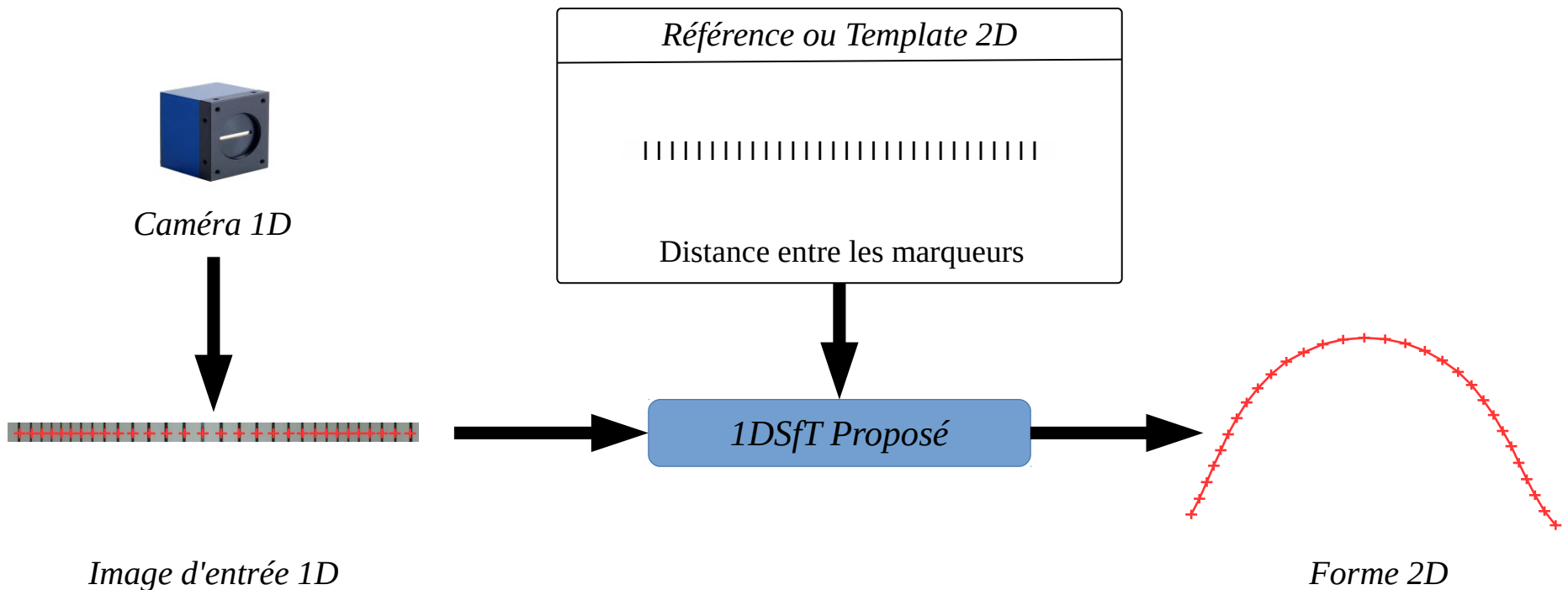
Contexte

Shape-from-Template ou 2DSfT : reconstruction d'une **forme 3D** d'une surface à partir d'une **image d'entrée 2D**, d'une **référence 3D** et d'un **modèle simple de déformation**



Motivation

Shape-from-Template dans Flatland ou 1DSfT : reconstruction d'une **forme 2D** d'une surface à partir d'une **image d'entrée 1D**, d'une **référence 2D** et d'un **modèle simple de déformation**



Exemple

Pour mieux visualiser le problème :

*Appareil photo pour
l'acquisition de la
vérité terrain*

*Appareil photo pour
l'acquisition des
images d'entrée 1D*



*Mire pour le
recalage de la
vérité terrain*

*Corde munie de
marqueurs noirs*

Exemple

Référence 1D

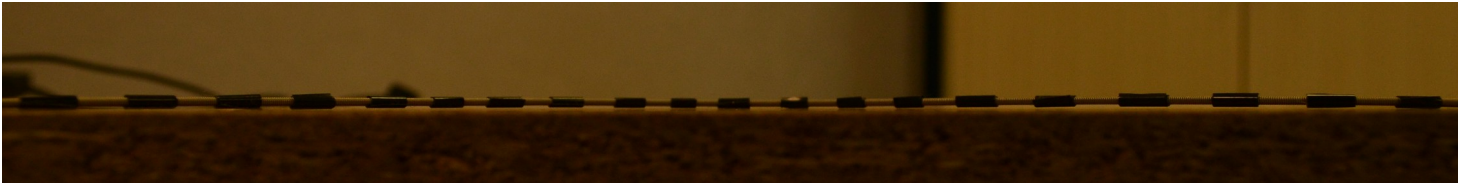


Exemple

Référence 1D



Image d'entrée 1D

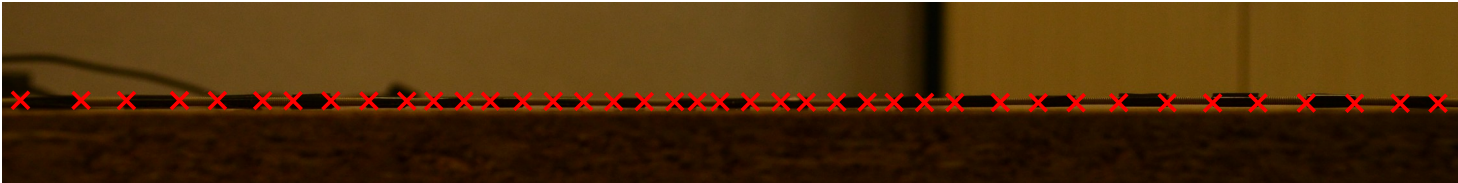


Exemple

Référence 1D



Image d'entrée 1D

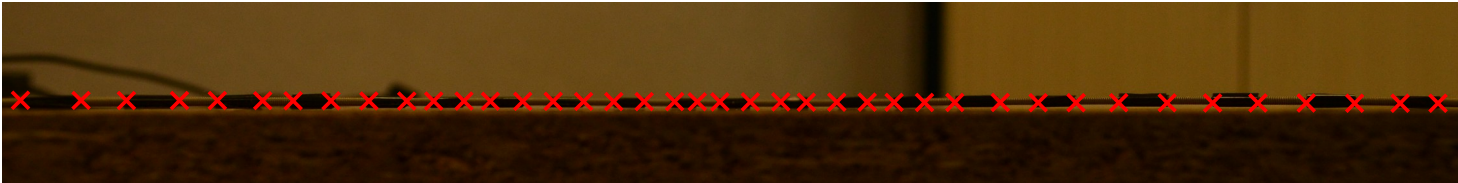


Exemple

Référence 1D



Image d'entrée 1D



Modèle simple de
déformation



Hypothèses et Objectif

Hypothèses :

- Correspondances connues
- Paramètres intrinsèques de la caméra connues
- Déformations lisses et isométriques
- Pas d'occultations

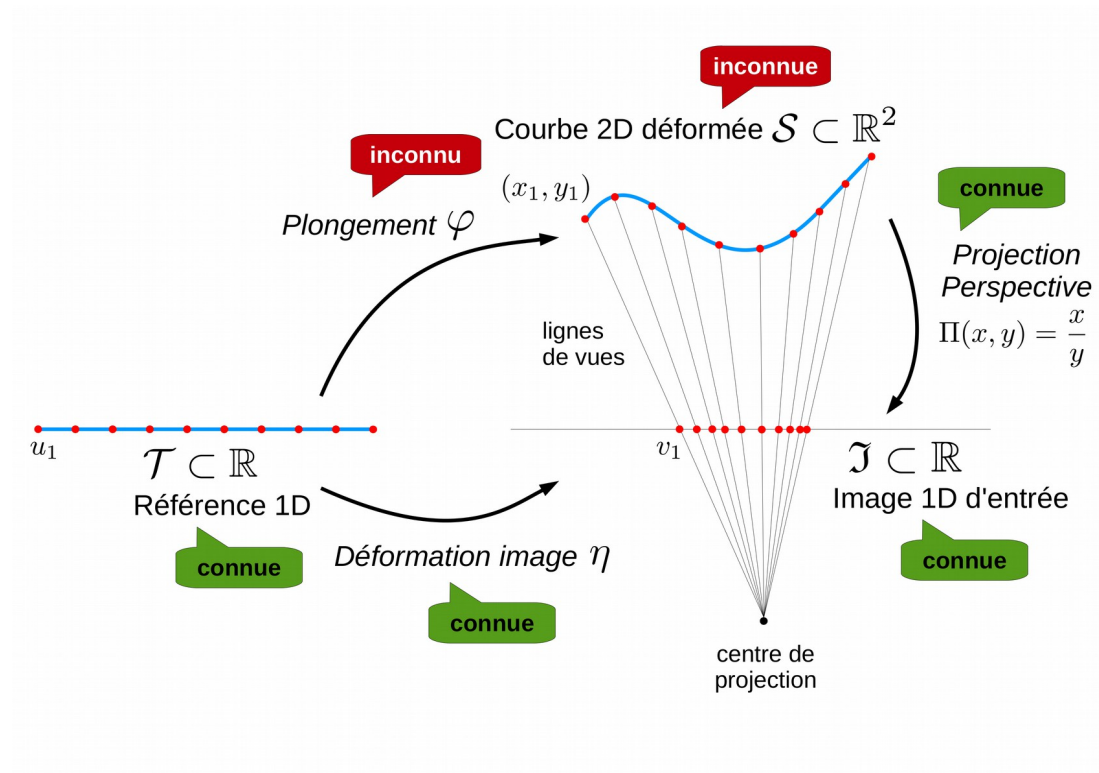
Objectif :

Résoudre le 1DSfT pour des déformations isométriques et
une caméra perspective calibrée.

Plan

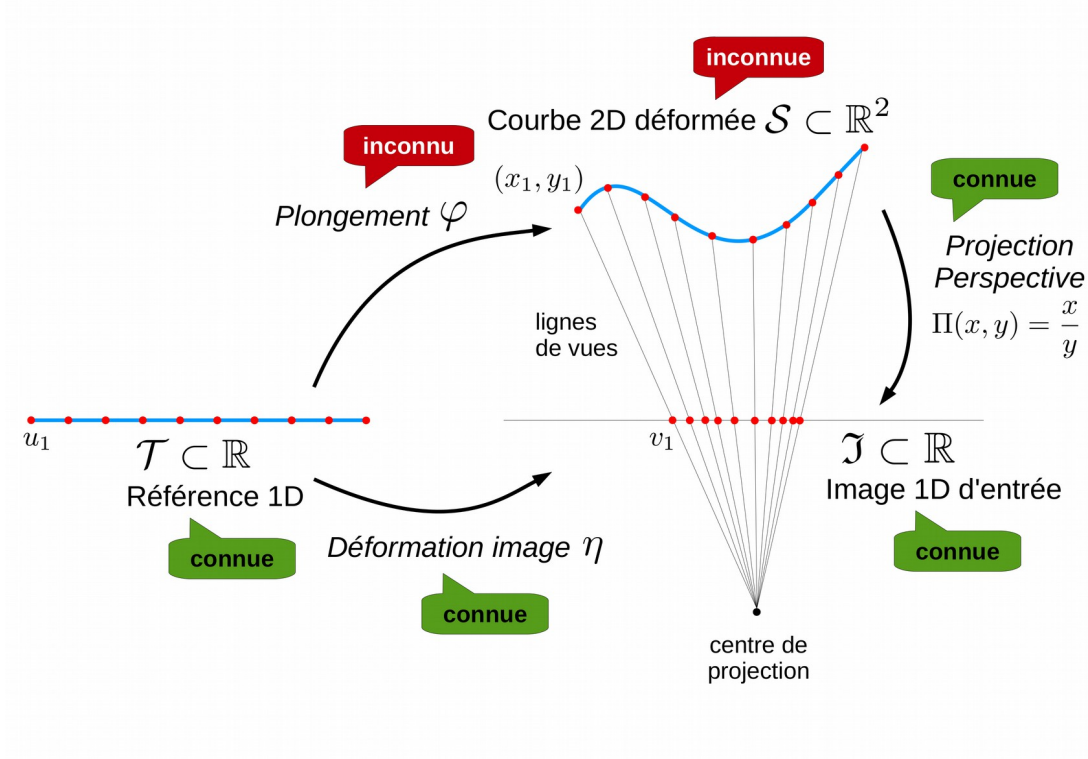
- Modélisation
- Analyse différentielle
- Étude de l'espace des solutions
- Algorithme
- Expériences
- Conclusion

Modélisation



Modélisation

La référence \mathcal{T} est déformée en une courbe lisse \mathcal{S} par un **plongement** $\varphi = (\varphi_x \ \varphi_y)$.



Formulation mathématique :

$$\text{Trouver } \varphi \in C^\infty(\mathcal{T}, \mathbb{R}^2) \quad t.q. \quad \begin{cases} \eta = \Pi \circ \varphi & (\text{reprojection}) \\ \|\varphi'\|_2^2 = 1 & (\text{isométrie}) \end{cases}$$

Analyse différentielle

Recherche de solutions **locales** :

Caméra
perspective



Contrainte de reprojection : $\varphi_y \eta = \varphi_x$

Analyse différentielle

Recherche de solutions **locales** :

Caméra
perspective



Contrainte de reprojection : $\varphi_y \eta = \varphi_x$

Contraintes de
reprojection
et d'isométrie



$$(\varphi'_y \eta)^2 + 2\varphi_y \varphi'_y \eta \eta' + (\varphi_y \eta')^2 + (\varphi'_y)^2 = 1$$

Analyse différentielle

Recherche de solutions **locales** :

Caméra
perspective



Contrainte de reprojection : $\varphi_y \eta = \varphi_x$

Contraintes de
reprojection
et d'isométrie



$$(\varphi'_y \eta)^2 + 2\varphi_y \varphi'_y \eta \eta' + (\varphi_y \eta')^2 + (\varphi'_y)^2 = 1$$



Recherche de solutions **non-holonomes**

Analyse différentielle

Recherche de solutions **locales** :

Caméra
perspective



Contrainte de reprojection : $\varphi_y \eta = \varphi_x$

Contraintes de
reprojection
et d'isométrie



$$(\varphi'_y \eta)^2 + 2\varphi_y \varphi'_y \eta \eta' + (\varphi_y \eta')^2 + (\varphi'_y)^2 = 1$$



Recherche de solutions **non-holonomes**

2DSfT Existant

Similaire à un calcul de pose rigide

Analyse différentielle

Recherche de solutions **locales** :

Caméra
perspective



Contrainte de reprojection : $\varphi_y \eta = \varphi_x$

Contraintes de
reprojection
et d'isométrie



$$(\varphi'_y \eta)^2 + 2\varphi_y \varphi'_y \eta \eta' + (\varphi_y \eta')^2 + (\varphi'_y)^2 = 1$$



Recherche de solutions **non-holonomes**

2DSfT Existant

Similaire à un calcul de pose rigide

Problème bien contraint à l'ordre 1 [1]

Analyse différentielle

Recherche de solutions **locales** :

Caméra
perspective



Contrainte de reprojection : $\varphi_y \eta = \varphi_x$

Contraintes de
reprojection
et d'isométrie



$$(\varphi'_y \eta)^2 + 2\varphi_y \varphi'_y \eta \eta' + (\varphi_y \eta')^2 + (\varphi'_y)^2 = 1$$



Recherche de solutions **non-holonomes**

2DSfT Existant

Similaire à un calcul de pose rigide

Problème bien contraint à l'ordre 1

1DSfT Proposé

Problème bien contraint ?

Quel est l'espace des solutions ?

Analyse différentielle

Recherche de solutions **locales** :

Caméra
perspective



Contrainte de reprojection : $\varphi_y \eta = \varphi_x$

Contraintes de
reprojection
et d'isométrie



$$(\varphi'_y \eta)^2 + 2\varphi_y \varphi'_y \eta \eta' + (\varphi_y \eta')^2 + (\varphi'_y)^2 = 1$$

Analyse différentielle

Recherche de solutions **locales** :

Caméra
perspective



Contrainte de reprojection : $\varphi_y \eta = \varphi_x$

Contraintes de
reprojection
et d'isométrie



$$(\varphi'_y \eta)^2 + 2\varphi_y \varphi'_y \eta \eta' + (\varphi_y \eta')^2 + (\varphi'_y)^2 = 1$$

Solutions
non-holonomes



Problème sous-contraint à tout ordre de dérivation

Analyse différentielle

Recherche de solutions **locales** :

Caméra
perspective



Contrainte de reprojection : $\varphi_y \eta = \varphi_x$

Contraintes de
reprojection
et d'isométrie



$$(\varphi'_y \eta)^2 + 2\varphi_y \varphi'_y \eta \eta' + (\varphi_y \eta')^2 + (\varphi'_y)^2 = 1$$

Solutions
non-holonomes



Problème sous-contraint à tout ordre de dérivation

Théorème 1 :

Le 1DSfT n'admet pas localement de solution exacte

Étude de l'espace des solutions

Recherche de solutions **globales** :

$$(\varphi'_y \eta)^2 + 2\varphi_y \varphi'_y \eta \eta' + (\varphi_y \eta')^2 + (\varphi'_y)^2 = 1$$

Étude de l'espace des solutions

Recherche de solutions globales :

$$(\varphi'_y \eta)^2 + 2\varphi_y \varphi'_y \eta \eta' + (\varphi_y \eta')^2 + (\varphi'_y)^2 = 1$$

Changement
de variable



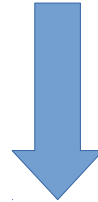
$$\varepsilon = \sqrt{1 + \eta^2} \ , \ \xi = \frac{\eta'^2}{\varepsilon^4} \ \text{et} \ \theta = \varphi_y \varepsilon$$

Étude de l'espace des solutions

Recherche de solutions **globales** :

$$(\varphi'_y \eta)^2 + 2\varphi_y \varphi'_y \eta \eta' + (\varphi_y \eta')^2 + (\varphi'_y)^2 = 1$$

Changement
de variable



$$\varepsilon = \sqrt{1 + \eta^2}, \quad \xi = \frac{\eta'^2}{\varepsilon^4} \quad \text{et} \quad \theta = \varphi_y \varepsilon$$

$$\theta'^2 + \xi \theta^2 = 1 \quad \text{ou} \quad \theta' = \pm \sqrt{1 - \xi \theta^2}$$

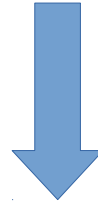
*EDO non-linéaire du
premier ordre*

Étude de l'espace des solutions

Recherche de solutions **globales** :

$$(\varphi'_y \eta)^2 + 2\varphi_y \varphi'_y \eta \eta' + (\varphi_y \eta')^2 + (\varphi'_y)^2 = 1$$

Changement
de variable



$$\varepsilon = \sqrt{1 + \eta^2}, \quad \xi = \frac{\eta'^2}{\varepsilon^4} \quad \text{et} \quad \theta = \varphi_y \varepsilon$$

$$\theta'^2 + \xi \theta^2 = 1 \quad \text{ou} \quad \theta' = \pm \sqrt{1 - \xi \theta^2}$$

*EDO non-linéaire du
premier ordre*



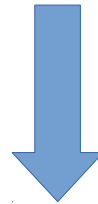
Pas de solution analytique, mais apparition de points spéciaux lorsque $\theta'(u_c) = 0$:
les **points critiques**.

Étude de l'espace des solutions

Recherche de solutions **globales** :

$$(\varphi'_y \eta)^2 + 2\varphi_y \varphi'_y \eta \eta' + (\varphi_y \eta')^2 + (\varphi'_y)^2 = 1$$

Changement
de variable



$$\varepsilon = \sqrt{1 + \eta^2}, \quad \xi = \frac{\eta'^2}{\varepsilon^4} \quad \text{et} \quad \theta = \varphi_y \varepsilon$$

$$\theta'^2 + \xi \theta^2 = 1 \quad \text{ou} \quad \theta' = \pm \sqrt{1 - \xi \theta^2}$$

*EDO non-linéaire du
premier ordre*



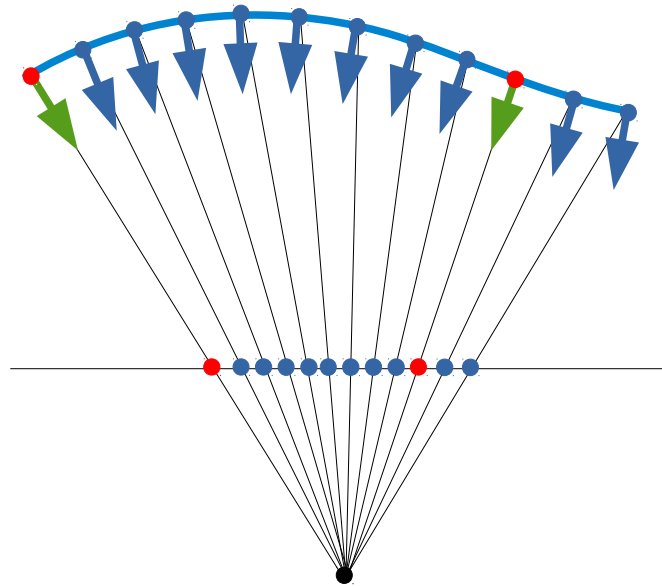
Pas de solution analytique, mais apparition de points spéciaux lorsque $\theta'(u_c) = 0$:
les **points critiques**



Les points critiques possèdent des propriétés intéressantes

Étude de l'espace des solutions

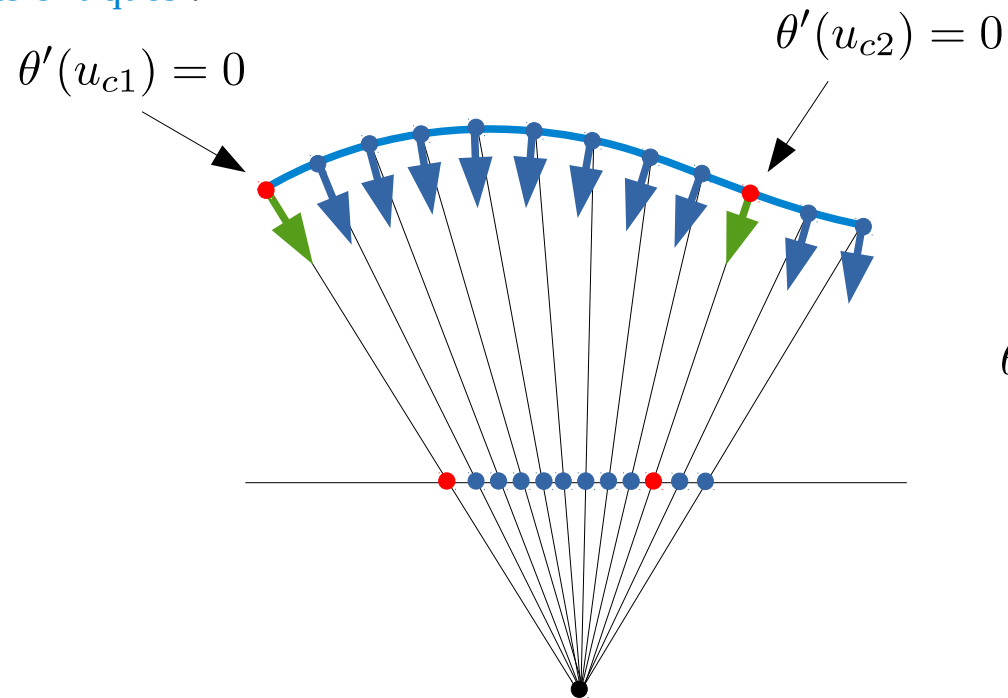
Interprétation géométrique des **points critiques** :



En chaque point critique, la normale et la ligne de vue sont colinéaires

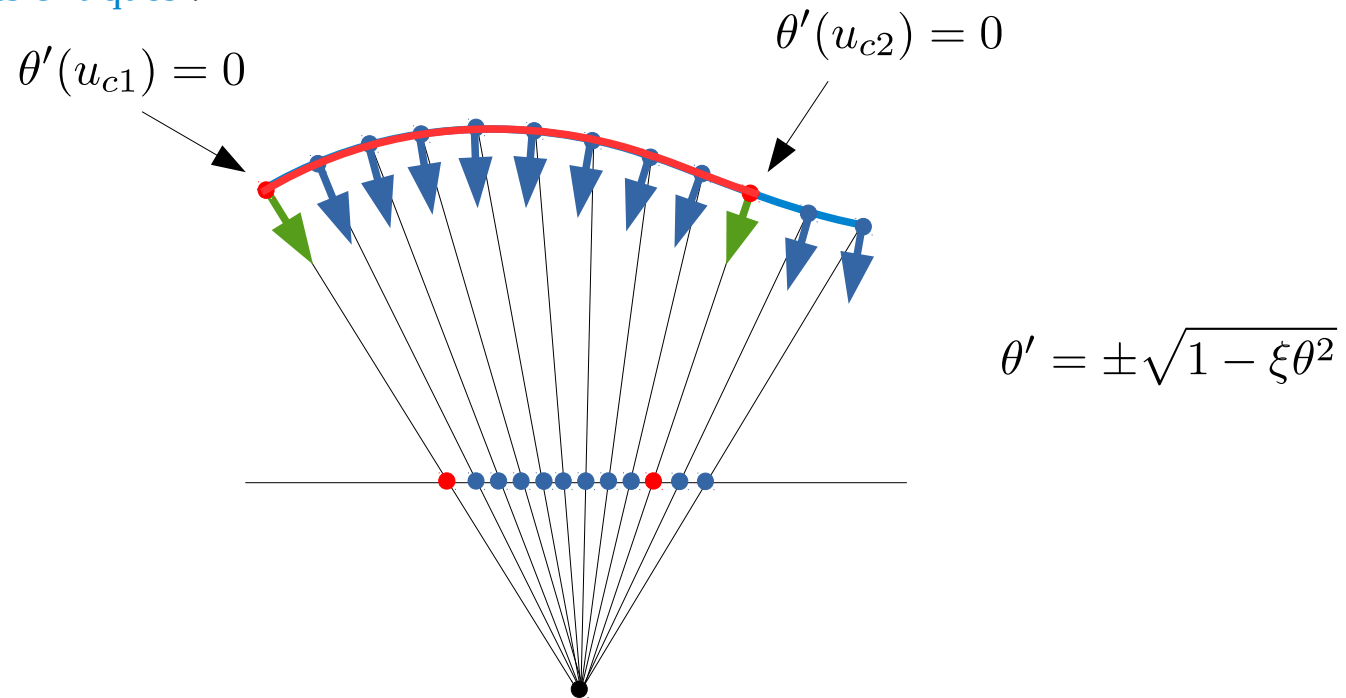
Étude de l'espace des solutions

Intérêt des **points critiques** :



Étude de l'espace des solutions

Intérêt des points critiques :



Entre deux points critiques consécutifs, le signe de θ' est constant

Étude de l'espace des solutions

Entre chaque segment délimité par deux points critiques consécutifs, nous avons donc :

$$\left\{ \begin{array}{l} \theta'(u) = \sqrt{1 - \xi(u)\theta^2(u)} \quad \text{ou} \quad \theta'(u) = -\sqrt{1 - \xi(u)\theta^2(u)} \\ \theta(u_0) = \frac{1}{\sqrt{\xi(u_0)}} \end{array} \right. \quad u_0 = \{u_{c1}, u_{c2}\}$$

Étude de l'espace des solutions

Entre chaque segment délimité par deux points critiques consécutifs, nous avons donc :

$$\left\{ \begin{array}{l} \theta'(u) = \sqrt{1 - \xi(u)\theta^2(u)} \quad \text{ou} \quad \theta'(u) = -\sqrt{1 - \xi(u)\theta^2(u)} \\ \theta(u_0) = \frac{1}{\sqrt{\xi(u_0)}} \end{array} \right. \quad u_0 = \{u_{c1}, u_{c2}\}$$

Sur chaque segment et pour $\theta'_+(u) = \sqrt{1 - \xi(u)\theta^2(u)}$ ou $\theta'_-(u) = -\sqrt{1 - \xi(u)\theta^2(u)}$

Étude de l'espace des solutions

Entre chaque segment délimité par deux points critiques consécutifs, nous avons donc :

$$\left\{ \begin{array}{l} \theta'(u) = \sqrt{1 - \xi(u)\theta^2(u)} \quad \text{ou} \quad \theta'(u) = -\sqrt{1 - \xi(u)\theta^2(u)} \\ \theta(u_0) = \frac{1}{\sqrt{\xi(u_0)}} \end{array} \right. \quad u_0 = \{u_{c1}, u_{c2}\}$$

Sur chaque segment et pour $\theta'_+(u) = \sqrt{1 - \xi(u)\theta^2(u)}$ ou $\theta'_-(u) = -\sqrt{1 - \xi(u)\theta^2(u)}$



Le théorème de Picard-Lindelöf est applicable

Étude de l'espace des solutions

Entre chaque segment délimité par deux points critiques consécutifs, nous avons donc :

$$\left\{ \begin{array}{l} \theta'(u) = \sqrt{1 - \xi(u)\theta^2(u)} \quad \text{ou} \quad \theta'(u) = -\sqrt{1 - \xi(u)\theta^2(u)} \\ \theta(u_0) = \frac{1}{\sqrt{\xi(u_0)}} \end{array} \right. \quad u_0 = \{u_{c1}, u_{c2}\}$$

Sur chaque segment et pour $\theta'_+(u) = \sqrt{1 - \xi(u)\theta^2(u)}$ ou $\theta'_-(u) = -\sqrt{1 - \xi(u)\theta^2(u)}$



Le théorème de Picard-Lindelöf est applicable



Existence et Unicité de la solution θ_+ ou θ_-

Étude de l'espace des solutions

Entre chaque segment délimité par deux points critiques consécutifs, nous avons donc :

$$\begin{cases} \theta'(u) = \sqrt{1 - \xi(u)\theta^2(u)} & \text{ou} & \theta'(u) = -\sqrt{1 - \xi(u)\theta^2(u)} \\ \theta(u_0) = \frac{1}{\sqrt{\xi(u_0)}} & & u_0 = \{u_{c1}, u_{c2}\} \end{cases}$$

Sur chaque segment et pour $\theta'_+(u) = \sqrt{1 - \xi(u)\theta^2(u)}$ ou $\theta'_-(u) = -\sqrt{1 - \xi(u)\theta^2(u)}$



Le théorème de Picard-Lindelöf est applicable



Existence et Unicité de la solution θ_+ ou θ_-

Théorème 2 :

N points critiques

θ'_+ et θ'_-



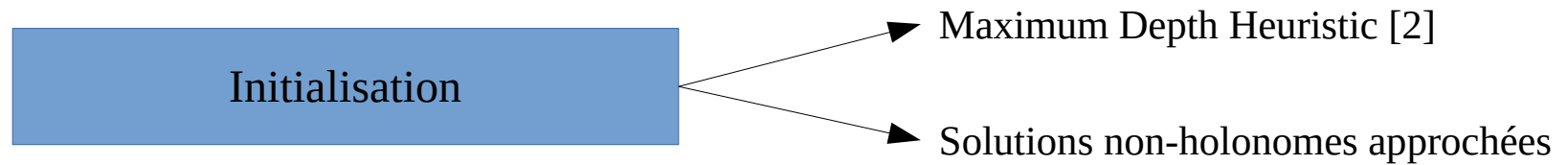
Nombre maximum de solutions : $2^N - 1$

Algorithme

Idée principale : utiliser les points critiques pour déterminer toutes les combinaisons possibles

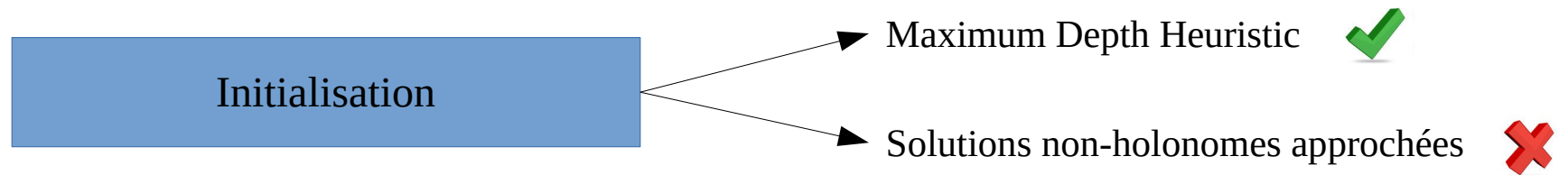
Algorithme

Idée principale : utiliser les points critiques pour déterminer toutes les combinaisons possibles



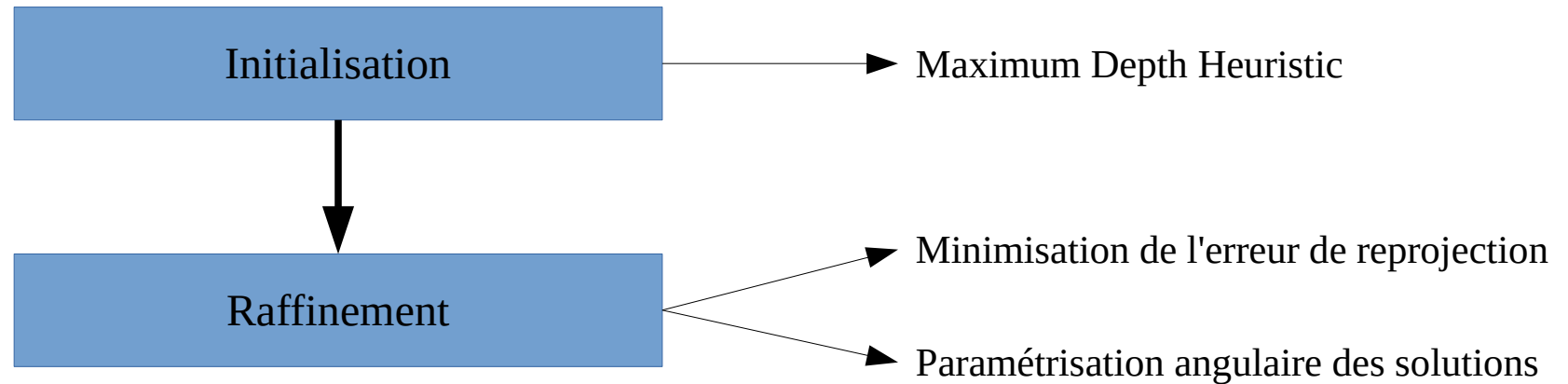
Algorithme

Idée principale : utiliser les points critiques pour déterminer toutes les combinaisons possibles

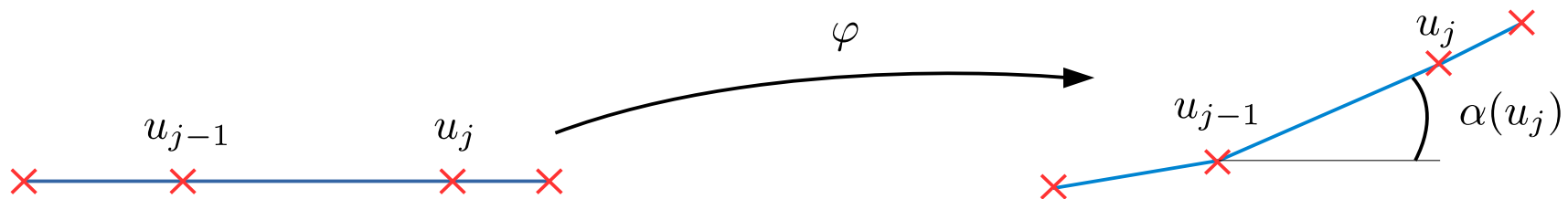


Algorithme

Idée principale : utiliser les points critiques pour déterminer toutes les combinaisons possibles

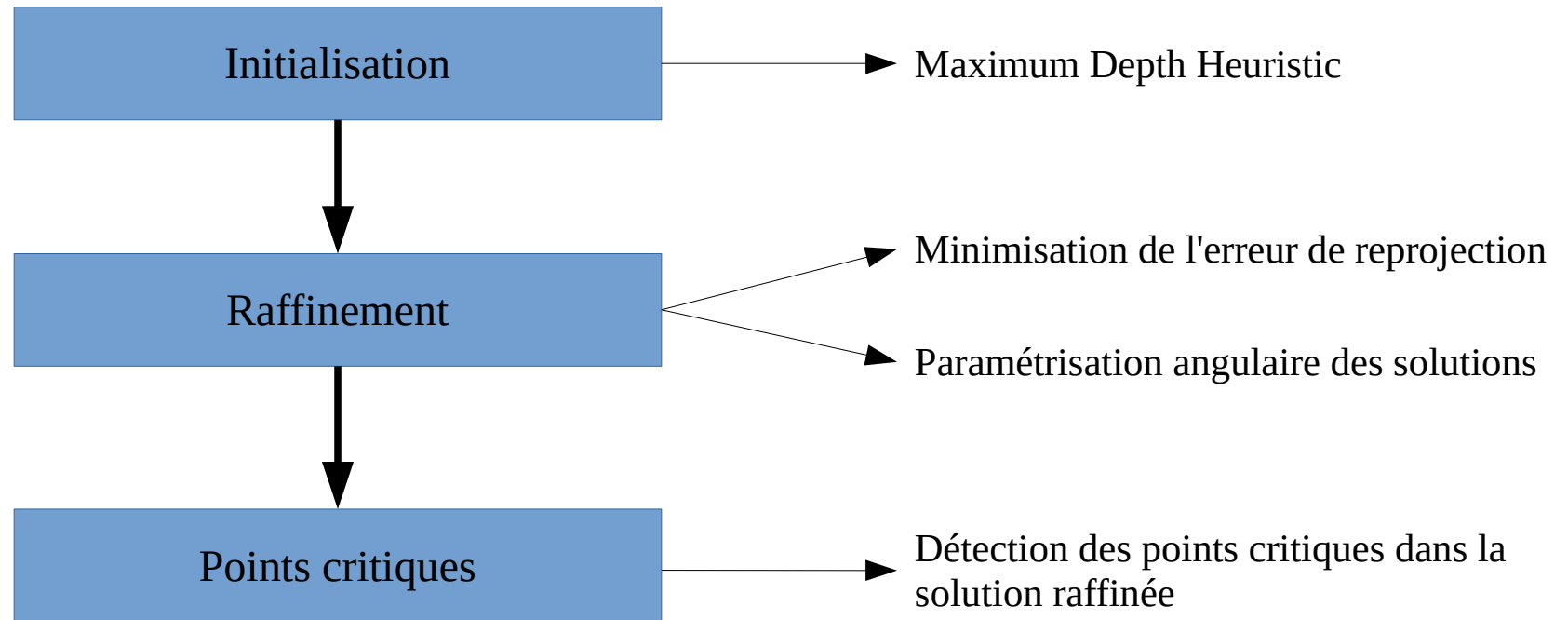


$$\forall u_i \in \mathcal{T}, \quad \varphi(u_i) = \sum_{j=1}^i (u_j - u_{j-1}) \begin{pmatrix} \cos \alpha(u_j) \\ \sin \alpha(u_j) \end{pmatrix} + \begin{pmatrix} t_x \\ t_y \end{pmatrix}, \quad \text{avec} \quad \alpha(u_j) = \sum_{k=0}^n u_j^k c_k$$



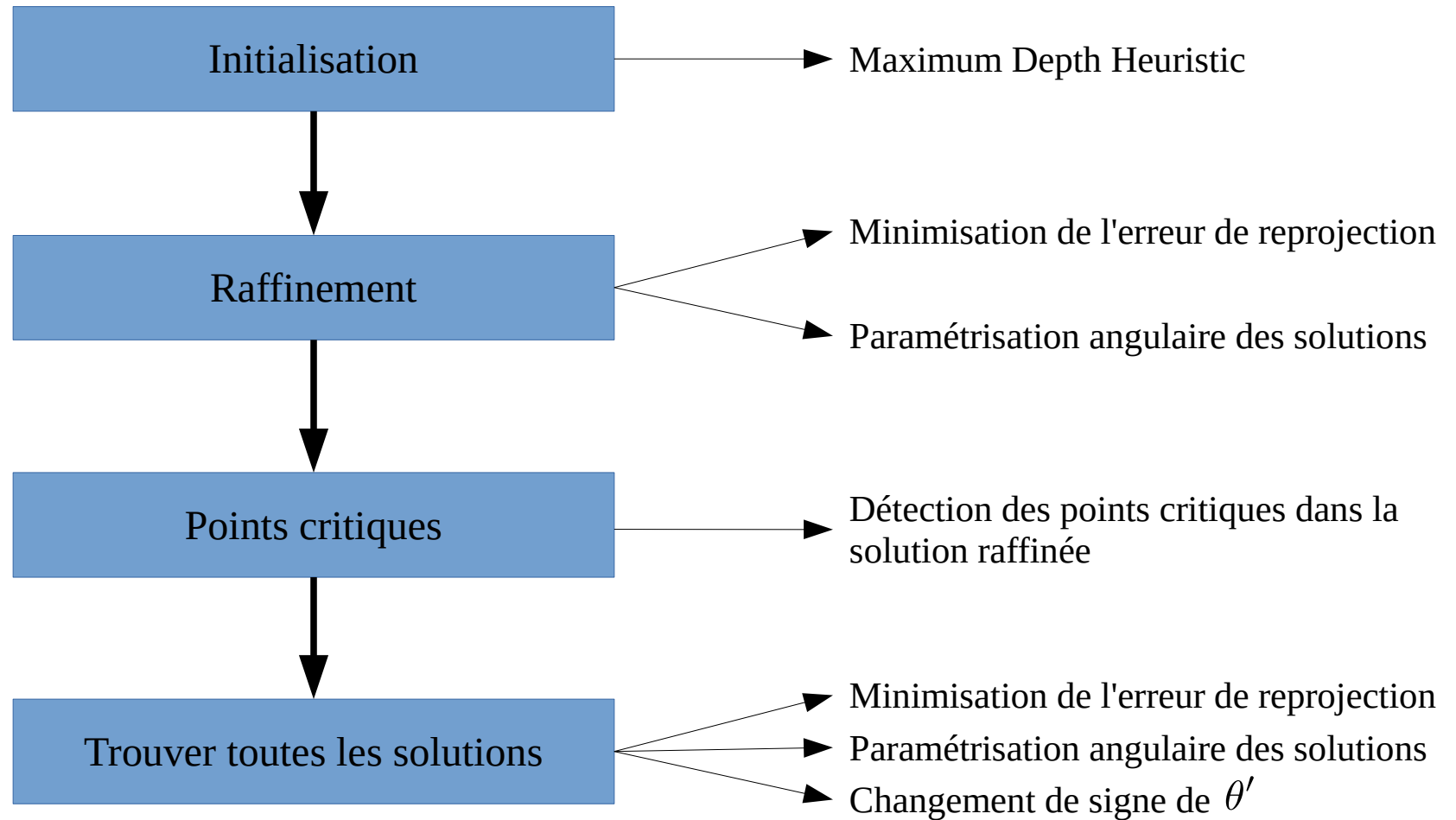
Algorithme

Idée principale : utiliser les points critiques pour déterminer toutes les combinaisons possibles



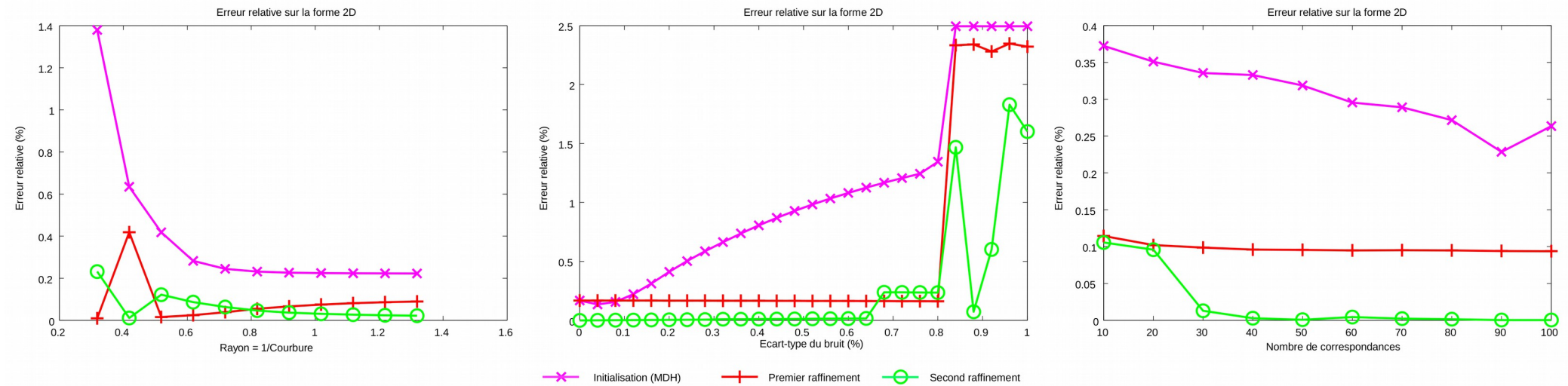
Algorithme

Idée principale : utiliser les points critiques pour déterminer toutes les combinaisons possibles



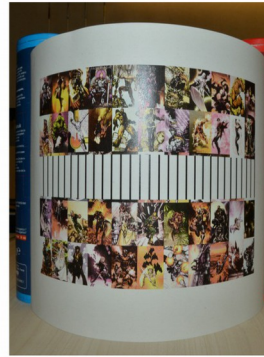
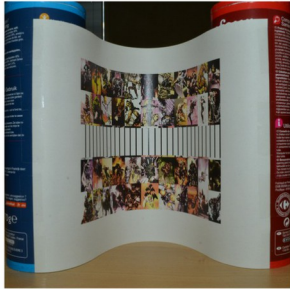
Expériences

Données *simulées*



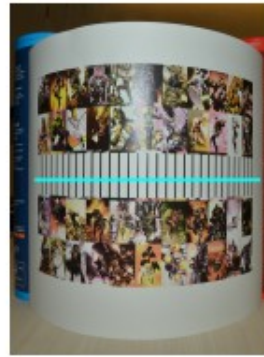
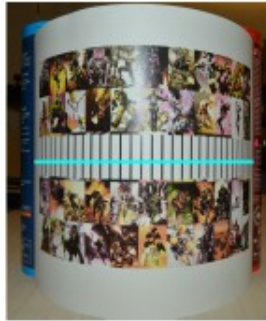
Expériences

Données **réelles**



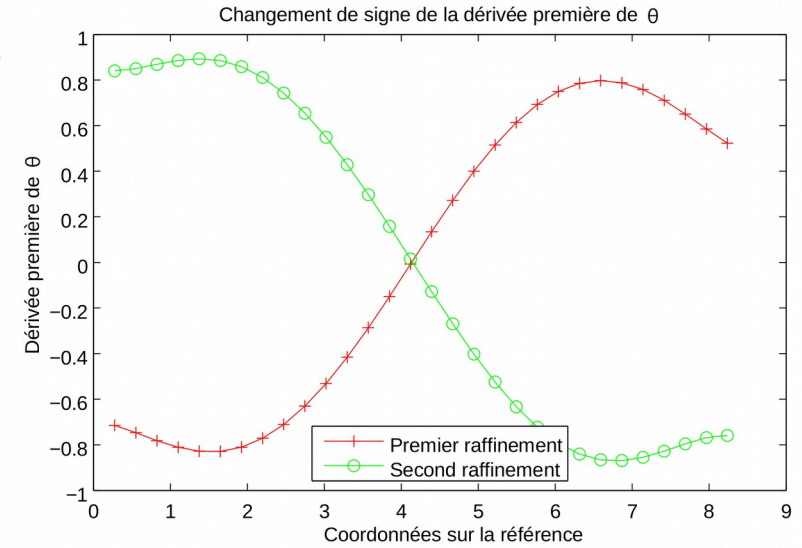
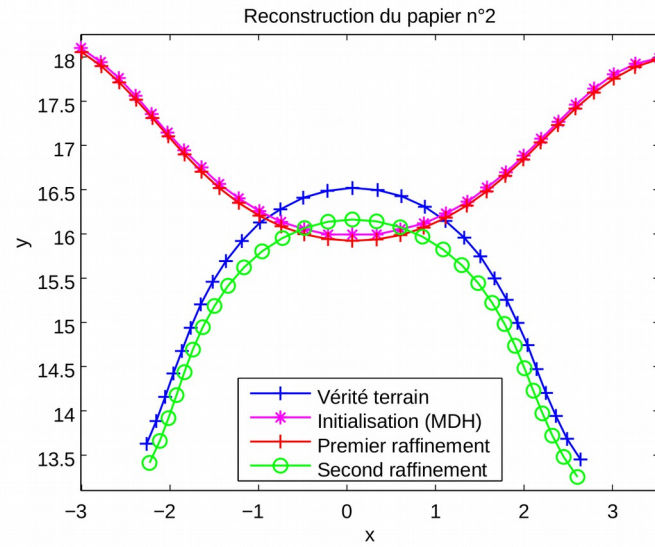
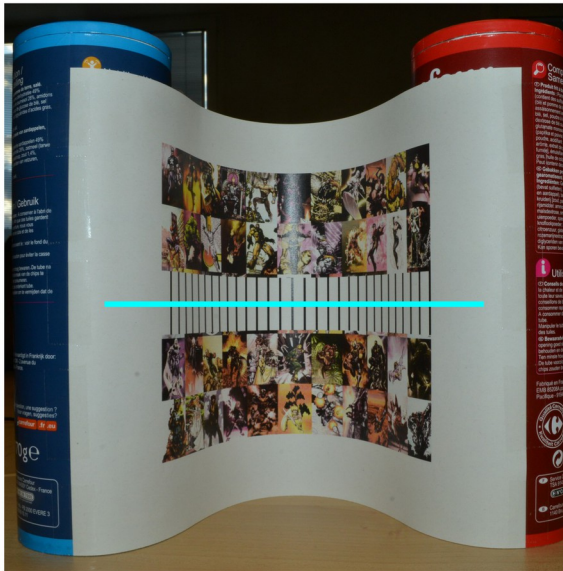
Expériences

Données *réelles*



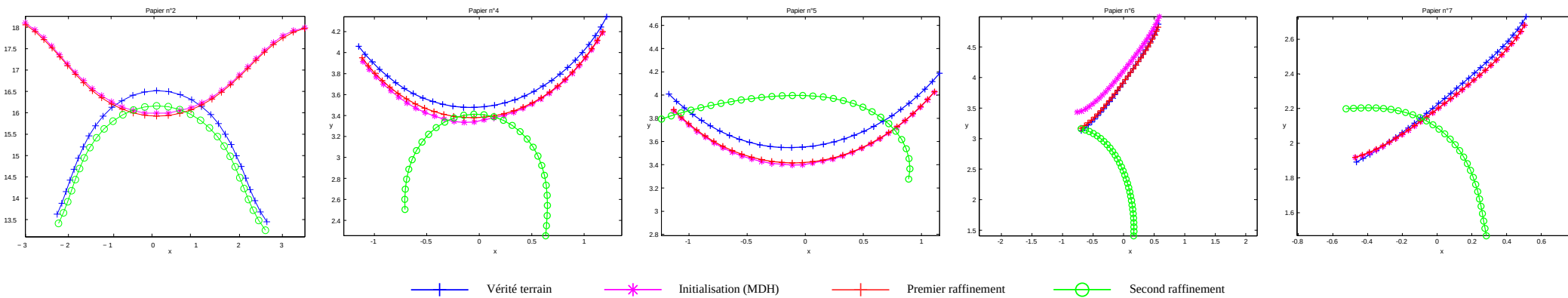
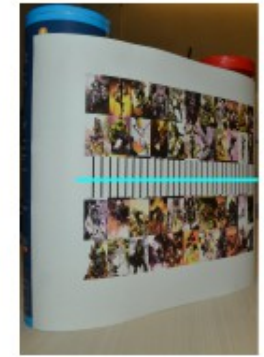
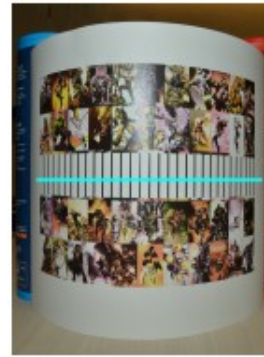
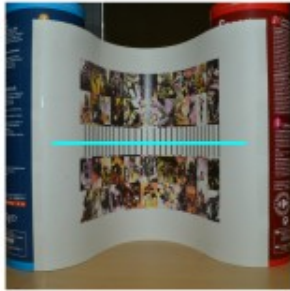
Expériences

Données réelles



Expériences

Données **réelles**



Conclusion

- Le 1DSfT, un problème non trivial
 - i) les solutions localement exactes du 1DSfT n'existent pas*
 - ii) le 1DSfT ne possède pas de solution unique, mais possède un nombre maximum de solutions*
- Les points critiques nécessaires au calcul des solutions du 1DSfT
- La paramétrisation angulaire assure des solutions isométriques
- Un algorithme basé sur une initialisation convexe et un raffinement non-convexe
- Des résultats encourageants avec des données simulées et réelles
- Extension du 1DSfT au 2DSfT avec des courbes



Shape-from-Template dans Flatland

Mathias Gallardo, Daniel Pizarro, Adrien Bartoli et Toby Collins
ALCoV-ISIT, Clermont-Ferrand

Journées Francophones des Jeunes Chercheurs en Vision par Ordinateur,
ORASIS à Amiens, 15-19 Juin 2015

Références

- SeDuMi 1.3. <http://sedumi.ie.lehigh.edu>.
- YALMIP version 19-June-2014. <http://users.isy.liu.se/johanl/yalmip>.
- Agisoft PhotoScan 1.0.4, 2014.
- E. A. Abbott. *Flatland : A Romance of Many Dimensions*. Seely & Co., 1886.
- A. Bartoli. Maximizing the predictivity of smooth deformable image warps through cross-validation. *Journal of Mathematical Imaging and Vision*, 31(2-3) :133–145, 2008.
- A. Bartoli, Y. Gérard, F. Chadebecq, and T. Collins. On template-based reconstruction from a single view : Analytical solutions and proofs of well-posedness for developable, isometric and conformal surfaces. In *CVPR*, 2012.
- F. Brunet, R. Hartley, and A. Bartoli. Monocular templatebased 3D surface reconstruction : Convex inextensible and nonconvex isometric methods. *Computer Vision and Image Understanding*, 125 :138 :154, 2014.
- A. Chhatkuli, D. Pizarro, and A. Bartoli. Stable templatebased isometric 3D reconstruction in all imaging conditions by linear least-squares. In *CVPR*, 2014.
- Y. Dai, H. Li, and M. He. A simple prior-free method for non-rigid structure-from-motion factorization. *International Journal of Computer Vision*, 107(2) :101–122, 2014.
- A. Del Bue, X. Llado, and L. Agapito. Non-rigid metric shape and motion recovery from uncalibrated images using priors. In *CVPR*, 2006.
- Y. Eliashberg and N. M. Mishachev. Introduction to the h-Principle. Number Grad. Stud. Math. 48. *American Mathematical Society*, 2002.
- A. Malti, R. Hartley, A. Bartoli, and J. Kim. Monocular template-based 3D reconstruction of extensible surfaces with local linear elasticity. In *CVPR*, 2013.
- M. Perriollat, R. Hartley, and A. Bartoli. Monocular template-based reconstruction of inextensible surfaces. In *BMVC*, 2008.
- M. Salzmann and P. Fua. Linear local models for monocular reconstruction of deformable surfaces. *IEEE Transactions on Pattern Analysis and Machine Intelligence*, 33(5) :931–944, 2011.